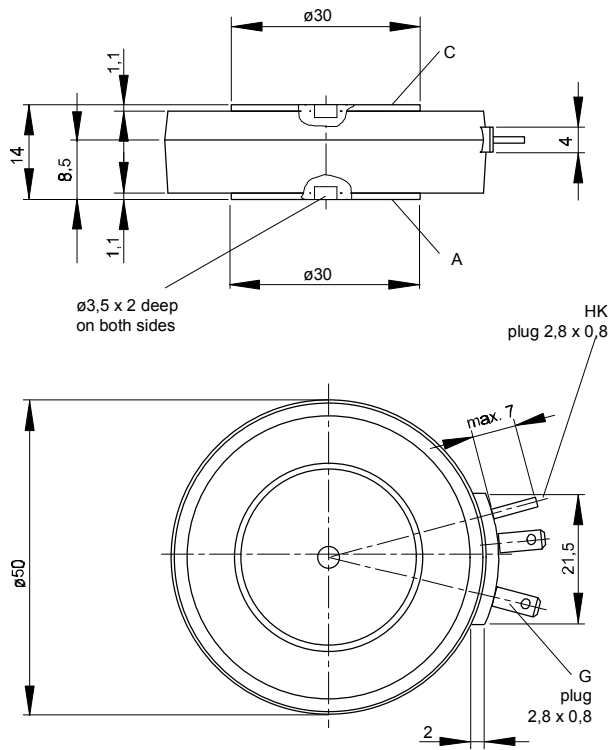




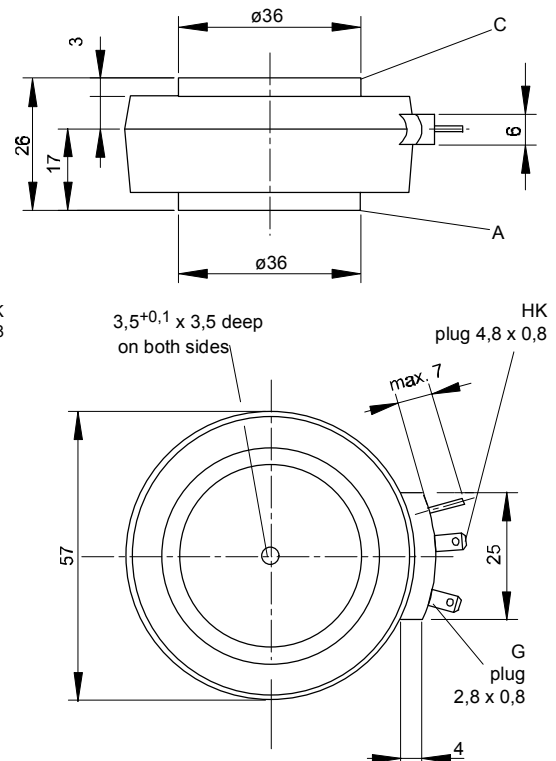
European Power-  
Semiconductor and  
Electronics Company

## Marketing Information

T 588 N



T 589 N



# T 588 N T 589 N

## Elektrische Eigenschaften

### Höchstzulässige Werte

Periodische Vorwärts- und Rückwärts-Spitzenperrspannung

Vorwärts-Stoßspitzenperrspannung

Rückwärts-Stoßspitzenperrspannung

Durchlaßstrom-Grenzeffektivwert

Dauergrenzstrom

Stoßstrom-Grenzwert

Grenzlastintegral

Kritische Stromsteilheit

Kritische Spannungssteilheit

### Electrical properties

#### Maximum rated values

repetitive peak forward off-state and reverse voltages

$$t_{vj} = -40^\circ\text{C} \dots t_{vj \max}$$

$$V_{DRM}, V_{RRM}$$

$$600 \ 800 \ 1000 \ 1200 \\ 1400 \ 1600 \ 1800^*$$

V

non-repetitive peak forward off-state voltage

$$t_{vj} = -40^\circ\text{C} \dots t_{vj \ max}$$

$$V_{DSM} = V_{DRM}$$

$$600 \ 800 \ 1000 \ 1200 \\ 1400 \ 1600 \ 1800^*$$

V

non-repetitive peak reverse voltage

$$t_{vj} = +25^\circ\text{C} \dots t_{vj \ max}$$

$$V_{RSM} = V_{RRM}$$

$$700 \ 900 \ 1100 \ 1300 \\ 1500 \ 1700 \ 1900$$

V

Durchlaßstrom-Grenzeffektivwert

RMS on-state current

$$I_{TRMSM}$$

$$1250$$

A

Dauergrenzstrom

average on-state current

$$I_{TAVM}$$

$$588$$

A

$$t_c = 85^\circ\text{C}$$

$$t_c = 61^\circ\text{C}$$

$$795$$

A

Stoßstrom-Grenzwert

surge current

$$t_{vj} = 25^\circ\text{C}, t_p = 10 \text{ ms}$$

$$I_{TSM}$$

$$9400$$

A

$$t_{vj} = t_{vj \ max}, t_p = 10 \text{ ms}$$

$$8000$$

A

Grenzlastintegral

$I^2 t$ -value

$$t_{vj} = 25^\circ\text{C}, t_p = 10 \text{ ms}$$

$$I^2 t$$

$$442000$$

$\text{A}^2\text{s}$

$$t_{vj} = t_{vj \ max}, t_p = 10 \text{ ms}$$

$$320000$$

$\text{A}^2\text{s}$

Kritische Stromsteilheit

critical rate of rise of on-state current

$$v_D \leq 67\%, V_{DRM}, f = 50 \text{ Hz}$$

$$(di_T/dt)_{cr}$$

$$200$$

$\text{A}/\mu\text{s}$

Kritische Spannungssteilheit

critical rate of rise of off-state voltage

$$t_{vj} = t_{vj \ max}, v_D = 67\% V_{DRM}$$

$$(dv/dt)_{cr}$$

$$1000$$

$\text{V}/\mu\text{s}$

## Charakteristische Werte

Durchlaßspannung

### Characteristic values

on-state voltage

$$t_{vj} = t_{vj \ max}, i_T = 2400 \text{ A}$$

$$v_T$$

$$\text{max. } 2,15$$

V

Schleusenspannung

threshold voltage

$$t_{vj} = t_{vj \ max}$$

$$V_{T(TO)}$$

$$0,8$$

V

Ersatzwiderstand

slope resistance

$$t_{vj} = t_{vj \ max}$$

$$r_T$$

$$0,5$$

$\text{m}\Omega$

Zündstrom

gate trigger current

$$t_{vj} = 25^\circ\text{C}, v_D = 6 \text{ V}$$

$$I_{GT}$$

$$\text{max. } 250$$

$\text{mA}$

Zündspannung

gate trigger voltage

$$t_{vj} = 25^\circ\text{C}, v_D = 6 \text{ V}$$

$$V_{GT}$$

$$\text{max. } 2,2$$

V

Nicht zündender Steuerstrom

gate non-trigger current

$$t_{vj} = t_{vj \ max}, v_D = 6 \text{ V}$$

$$I_{GD}$$

$$\text{max. } 10$$

$\text{mA}$

Nicht zündende Steuerspannung

gate non-trigger voltage

$$t_{vj} = t_{vj \ max}, v_D = 0,5 V_{DRM}$$

$$V_{GD}$$

$$\text{max. } 0,25$$

V

Haltestrom

holding current

$$t_{vj} = 25^\circ\text{C}, v_D = 6 \text{ V}, R_A = 5 \Omega$$

$$I_H$$

$$\text{max. } 300$$

$\text{mA}$

Einraststrom

latching current

$$t_{vj} = 25^\circ\text{C}, v_D = 6 \text{ V}, R_{GK} \geq 10 \Omega$$

$$I_L$$

$$\text{max. } 1,2$$

A

Vorwärts- und Rückwärts-Sperrstrom

forward off-state and reverse currents

$$t_{vj} = t_{vj \ max}, v_D = V_{DRM}, v_R = V_{RRM}$$

$$i_D, i_R$$

$$\text{max. } 50$$

$\text{mA}$

Zündverzug

gate controlled delay time

$$t_{vj} = 25^\circ\text{C}, i_{GM} = 1 \text{ A}, di_G/dt = 1 \text{ A}/\mu\text{s}$$

$$t_{gd}$$

$$\text{max. } 4$$

$\mu\text{s}$

Freiwerdezeit

circuit commutated turn-off time

$$\text{siehe Techn. Erl./see Techn. Inf.}$$

$$t_q$$

$$\text{typ. } 250$$

$\mu\text{s}$

## Thermische Eigenschaften

Innerer Wärmewiderstand für beidseitige Kühlung

### Thermal properties

thermal resistance, junction to case for two-sided cooling

$$\Theta = 180^\circ \text{ el, sin}$$

$$R_{thJC}$$

$$\text{max. } 0,045$$

$^\circ\text{C/W}$

für anodenseitige Kühlung

for anode-sided cooling

$$\Theta = 180^\circ \text{ el, sin}$$

$$R_{thJC(A)}$$

$$\text{max. } 0,074$$

$^\circ\text{C/W}$

für kathodenseitige Kühlung

for cathode-sided cooling

$$\Theta = 180^\circ \text{ el, sin}$$

$$R_{thJC(K)}$$

$$\text{max. } 0,104$$

$^\circ\text{C/W}$

$$\Theta = 180^\circ \text{ el, sin}$$

$$\text{max. } 0,1$$

$^\circ\text{C/W}$

Übergangs-Wärmewiderstand

thermal resistance, case to heatsink

$$\text{beidseitig/two-sided}$$

$$R_{thCK}$$

$$\text{max. } 0,007$$

$^\circ\text{C/W}$

$$\text{einseitig/one-sided}$$

$$\text{max. } 0,014$$

$^\circ\text{C/W}$

Höchstzul. Sperrschiichttemperatur

max. junction temperature

$$t_{vj \ max}$$

$$125$$

$^\circ\text{C}$

Betriebstemperatur

operating temperature

$$t_{c \ op}$$

$$-40 \dots +125$$

$^\circ\text{C}$

Lagertemperatur

storage temperature

$$t_{stg}$$

$$-40 \dots +140$$

$^\circ\text{C}$

## Mechanische Eigenschaften

Si-Elemente mit Druckkontakt

### Mechanical properties

Si-pellet with pressure contact

Anpreßkraft

clamping force

$$T 588 \text{ N/T } 589 \text{ N}$$

$$F$$

$$6 \dots 12$$

kN

Gewicht

weight

$$T 588 \text{ N/T } 589 \text{ N}$$

$$G$$

$$\text{typ. } 100/270$$

g

Kriechstrecke

creepage distance

$$T 588 \text{ N/T } 589 \text{ N}$$

$$17/28$$

$$\text{mm}$$

C

Feuchtekategorie

humidity classification

$$\text{DIN 40040}$$

Schwingfestigkeit

vibration resistance

$$f = 50 \text{ Hz}$$

$$50$$

$$\text{m/s}^2$$

Maßbild, anliegend

$$\text{outline, attached}$$

\* Für größere Stückzahlen Liefertermin erfragen / Delivery for larger quantities on request